

A.19

4

И Н С Т И Т У Т  
ЯДЕРНОЙ ФИЗИКИ СОАН СССР

препринт 277

Авербух И.И., Авербух С.И., Карлинер М.М.

ГЕНЕРАТОР ПИЛООБРАЗНОГО ТОКА

НОВОСИБИРСК

1969

Авербух И.И., Авербух С.И., Карлинер М.М.

Физика ядерного топлива

Как правило, такие генераторы

характеризуются высокими

частотами элементов Фурии

## ГЕНЕРАТОР ПИЛООБРАЗНОГО ТОКА

Ниже рассмотрены некоторые схемы генераторов пилообразного тока, имеющие применение в различных сортах

электронных усилителей и ускорителях частиц.

### АННОТАЦИЯ

Приведены принципы и некоторые практические схемы формирования пилообразного тока для питания отклоняющей катушки в электронном ускорителе ЭлТ-1,5.

Схема и назначение дается

для каждого из них.

Описаны принципы и некоторые практические схемы фор-

мирования пилообразного тока для питания отклоняющей катуш-

ки в электронном ускорителе ЭлТ-1,5.

Схема и назначение дает-

ся для каждого из них.

Описаны принципы и неко-

торые практические схемы фор-

мирования пилообразного тока для питания отклоняющей катуш-

ки в электронном ускорителе ЭлТ-1,5.

Схема и назначение дает-

ся для каждого из них.

Описаны принципы и неко-

торые практические схемы фор-

мирования пилообразного тока для питания отклоняющей катуш-

ки в электронном ускорителе ЭлТ-1,5.

Схема и назначение дает-

ся для каждого из них.

Описаны принципы и неко-

торые практические схемы фор-

мирования пилообразного тока для питания отклоняющей катуш-

ки в электронном ускорителе ЭлТ-1,5.

Схема и назначение дает-

ся для каждого из них.

Описаны принципы и неко-

торые практические схемы фор-

мирования пилообразного тока для питания отклоняющей катуш-

ки в электронном ускорителе ЭлТ-1,5.

Схема и назначение дает-

ся для каждого из них.

Описаны принципы и неко-

торые практические схемы фор-

мирования пилообразного тока для питания отклоняющей катуш-

ки в электронном ускорителе ЭлТ-1,5.



Для решения ряда задач экспериментальной и прикладной физики необходимы мощные генераторы пилообразного тока. Как правило, такие генераторы работают на нагрузку индуктивного характера, что позволяет использовать эту индуктивность в качестве элемента цепи формирования тока.

Ниже рассмотрены некоторые схемы генераторов пилообразного тока, нашедших применение в промышленных ускорителях электронов типа ЭлТ-1,5 /1/ для развертки электронного пучка.

#### Принцип формирования пилообразного тока

##### в индуктивной нагрузке

Работа генератора пилообразного тока иллюстрируется упрощенной схемой рис. 1, где  $L$  - индуктивность нагрузки,  $K_1, K_2, K_3$  и  $K_4$  - ключи.

При замыкании ключей  $K_1$  и  $K_2$  ток в индуктивности линейно нарастает. В момент времени  $t_1$ , когда ток достигает величины  $I_{\max}$  (рис. 2), ключи  $K_1$  и  $K_2$  размыкаются. Одновременно замыкаются  $K_3$  и  $K_4$  и напряжение на индуктивности меняет знак. Ток, линейно убывая, меняет направление и достигает в момент  $t_3$  величины  $-I_{\max}$ . В дальнейшем цикл переключений повторяется.

В разработанных генераторах пилообразного тока в качестве ключей применяются транзисторы типа П210А и КТ-802А. Параллельно каждому транзистору подключается диод, пропускающий ток в обратном направлении (рис. 3).

Схема, изложенная на рис. 3, работает следующим образом. В промежуток времени  $0 < t < t_1$  (рис. 4в) включены транзисторы  $T_1$  и  $T_2$  и ток в индуктивности нарастает до  $I_{\max}$  (рис. 4а). При  $t = t_1$  транзисторы  $T_1$  и  $T_2$  запираются и индуктивность подключается к источнику питания диодами  $D_3$  и  $D_4$  (рис. 4г), напряжение на индуктивности меняет знак (рис. 4б) и ток, протекая в том же направлении, спадает до нуля к моменту  $t_2$ . При  $t = t_2$  или немного раньше включаются транзисторы  $T_3$  и  $T_4$  (рис. 4д) и формируется отрицательная чет-

верть волны тока. При  $t = t_3$  ток достигает величины  $-i_{\max}$ . Транзисторы  $T_3, T_4$  запираются и индуктивность подключается к источнику диодами  $D_1$  и  $D_2$  (рис. 4е), напряжение на индуктивности меняет знак и ток изменяется от  $-i_{\max}$  до нуля. При  $t = t_4$  заканчивается полный цикл формирования пилообразного тока. В дальнейшем цикл повторяется.

На рис. 3 нагрузка представлена в виде индуктивности  $L$ , активного сопротивления  $R$ , а батарея  $E$  заменена выпрямителем с фильтром из  $L_{sp}$  и  $C$  на выходе. Величины  $R$  и  $C$  при заданной индуктивности нагрузки влияют на линейность пилообразного тока.

Выражение для тока в нагрузке для  $0 < t < \frac{T}{2}$  (рис. 4а) можно записать как

$$i = \frac{E}{\omega_0 L} e^{-\alpha t} \sin \omega_0 t, \quad (1)$$

где  $\alpha = \frac{R}{2L}; \omega_0 = \sqrt{\frac{1}{LC} - \frac{R^2}{4L^2}}$ .

Коэффициент нелинейности  $\beta$  определяется, как отношение разности скоростей нарастания тока при  $t=0$  и  $t=\frac{T}{2}$  к их сумме (рис. 4а)

$$\beta = \frac{\left(\frac{di}{dt}\right)_{t=0} - \left(\frac{di}{dt}\right)_{t=\frac{T}{2}}}{\left(\frac{di}{dt}\right)_{t=0} + \left(\frac{di}{dt}\right)_{t=\frac{T}{2}}} \quad (2)$$

После подстановки значений  $\frac{di}{dt}$  и преобразований получаем

$$\beta \approx \frac{1}{64} (\omega_0^2 T^2 + 8\alpha T) \quad (3)$$

В рассмотренной схеме формирование больших амплитуд тока ограничивается мощностью потерь в транзисторе. Мощность потерь складывается из потерь в транзисторе в режиме насыщения и во время коммутации. Для низкочастотных транзисторов типа П210 потери во время коммутации превышают потери режима насыщения. Уменьшение коммутационных потерь связано с уменьшением времени запирания транзисторов. На рис. 5 показаны ток через нагрузку  $i_H$ , ток транзистора  $i_T$  и напряжение  $U$  на транзисторе, а также время коммутации: время задержки  $t_3$ , время выхода в режим насыщения  $t_0$ , время рассасывания  $t_p$

и восстановления  $t_6$ . Как следует из рис. 5б, в течение времени  $t_p$  через транзистор течет полный ток и к нему приложено полное напряжение источника питания (рис. 5в). Уменьшить это время можно, подавая в базу транзистора в момент запирания импульс напряжения положительной полярности  $U_B$ , как показано на рис. 5г.

Вопросы применения и расчета транзисторов в ключевых схемах, а также коммутационные процессы подробно рассмотрены в 1/2, 3, 4г.

### Схемы генераторов пилообразного тока

Блок-схема генератора пилообразного тока на низкочастотных транзисторах изображена на рис. 6.

Задающий генератор 1 вырабатывает прямоугольное напряжение частотой 2000 Гц и скважностью 2. Положительный импульс поступает в схему формирования и усиления управляющих импульсов 1-й группы ключей 2. Отрицательный импульс поступает в схему формирования и усиления управляющих импульсов 2-й группы ключей 3. Ключевая схема 4 формирует в нагрузке б пилообразный ток.

Принципиальная схема изображена на рис. 7. Задающий генератор по схеме  $L$ -генератора /5/ выполнен на транзисторах  $T_1, T_2$  типа П416 и трансформаторе  $Tr_1$ .

Прямоугольное напряжение со вторичной обмотки  $Tr_1$  поступает на цепочки из насыщающихся индуктивностей и туннельных диодов  $L_1 - D_1, L_2 - D_2$  для формирования управляющих импульсов первого и второго каналов в соответствии с рис. 4в, д. Длительность формируемых импульсов составляет около четверти периода развертки - 130 - 150 мксек - и точно устанавливается при настройке изменением сопротивлений  $R_3, R_5$  и  $R_4, R_6$ . Напряжение с туннельного диода  $D_1$  поступает на усилители  $T_3, T_5, T_7$ , а с  $D_2$  на  $T_4, T_6, T_8$ .

Выходной каскад каждого усилителя  $T_7$  или  $T_8$  представляет собой ключевую схему с трансформаторным выходом. В момент запирания транзистора на коллекторе создается выброс напряжения, амплитуда которого ограничивается цепочкой  $D_3, D_4$ . Во вторичной обмотке трансформатора этот выброс создает необ-

ходимый положительный импульс для уменьшения времени рассасывания и восстановления транзисторов ключевой схемы.

Питание  $T_7$  и  $T_8$  осуществляется от напряжения питания ключевой схемы. Это необходимо для поддержания постоянного режима насыщения транзисторов ключевой схемы при регулировании амплитуды тока.

Ключевая схема формирования пилообразного тока выполнена на транзисторах T9-12 типа П210А и диодах  $D_7$  - 10 типа Д231А.

Нагрузкой генератора пилообразного тока является отклоняющая катушка электронного ускорителя ЭлТ-1,5. Индуктивность катушки 23 мкГн, активное сопротивление 0,02 ома. Нагрузка подключается через понижающий трансформатор  $Tr_4$  с коэффициентом трансформации 6 : 1.

Регулировка амплитуды пилообразного тока производится изменением напряжения питания Е ключевой схемы. Наибольшая амплитуда тока в нагрузке составляет 30 а. Нелинейность тока порядка 10%. Реактивная мощность в нагрузке 150 вт. Потери в каждом транзисторе около 10 вт.

При необходимости получения больших амплитуд пилообразного тока каждый ключ в схеме рис. 3 может быть составлен из нескольких параллельно включенных транзисторов и диодов. Была разработана схема, в которой каждый ключ состоит из 4-х параллельно включенных транзисторов типа П210А и двух диодов Д231А. Схема обеспечивает в нагрузке с индуктивностью 145 мкГн и активным сопротивлением 0,1 ома амплитуду тока 40а. Частота изменения тока 2000 гц. Реактивная мощность в нагрузке 1800 вт. Нелинейность тока 10%. Потери в одном ключе 50 вт.

Применение высокочастотных транзисторов типа КТ-802А или аналогичных в генераторах пилообразного тока позволяет существенно упростить схему, т.к. отпадает необходимость в дополнительном формировании управляющих импульсов и уменьшить общую потребляемую мощность. Эти упрощения и высокий КПД связаны с малым временем коммутации таких транзисторов. Принципиальная схема генератора пилообразного тока на высокочастотных транзисторах изображена на рис. 8.

Задающий генератор по схеме L-генератора и ключевая схема выполнены на транзисторах  $T_1$ ,  $T_2$ ,  $T_3$ ,  $T_4$  типа КТ-802А.

Роль диодов в ключевой схеме выполняют переходы база-коллектор транзисторов  $T_3$  и  $T_4$ .

Транзисторы  $T_3$  и  $T_4$  поочередно включаются и выключаются импульсами задающего генератора. Нагрузка подключается через выходной трансформатор  $Tr_2$ .

Мощность потерь в одном ключе - 10 вт. Реактивная мощность в нагрузке - 150 вт.

#### Схема автоматического слежения поля в отклоняющем промежутке за уровнем энергии ускорителя

Как указывалось выше, генераторы пилообразного тока нашли применение для развертки электронного пучка ускорителя ЭлТ-1,5.

Для стабилизации угла отклонения пучка электронов при изменении энергии была разработана система автоматического слежения отклоняющего поля за уровнем энергии. Блок-схема изображена на рис. 9.

При изменении напряжения на ускорительной трубке меняется сигнал с датчика 1 и функционального преобразователя 2.

Схема 3 сравнивает напряжение на источнике 4 с напряжением на выходе функционального преобразователя. Сигнал ошибки используется для управления напряжением источника питания. Ключевая схема 5 формирует пилообразный ток, амплитуда которого пропорциональна напряжению источника питания.

Эта схема обеспечила точность стабилизации угла отклонения электронного пучка в диапазоне изменения энергии от 0,3 до 1,5 МэВ не хуже 5%.

## Л и т е р а т у р а

1. Е.А.Абрамян и др. "Системы автоматики и управления промышленного ускорителя электронов Эл Т-1,5". Труды У1 Международной конференции по электронным ускорителям, (г.Томск, 1966г., стр. 377, изд. "Энергия", 1968г.).
2. Я.Будинский. "Транзисторные переключающие схемы", изд. "Связь", 1965 г.
3. Т.М.Агаханян. "Электронные ключи и нелинейные импульсные усилители", изд. "Советское Радио", 1966 г.
4. Т.А.Глазенко. "Импульсные полупроводниковые усилители в электроприводах", изд. "Энергия", 1965 г.
5. В.Т.Фролкин. "Импульсные устройства", изд. "Машиностроение", 1966 г.

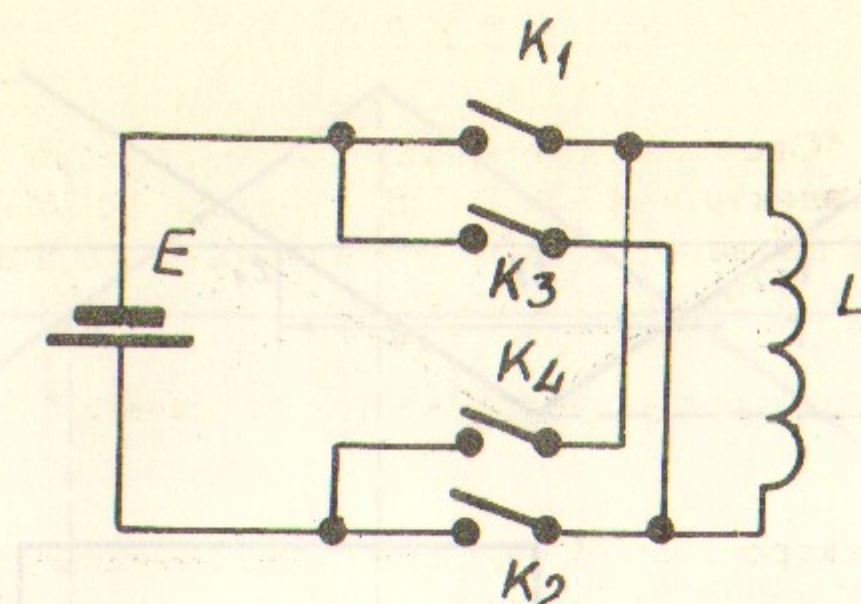


Рис.1. Упрощенная схема генератора пилообразного тока

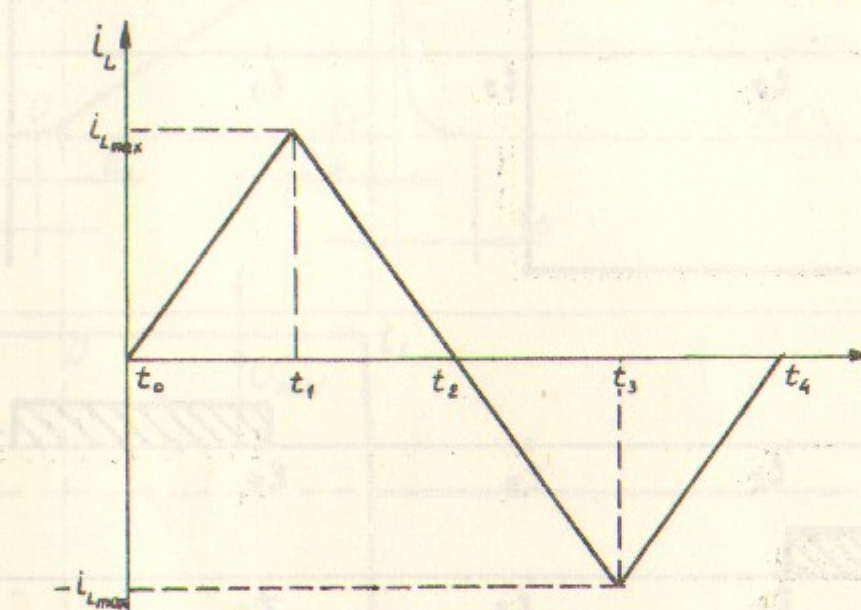


Рис. 2. Осциллограмма тока в индуктивности

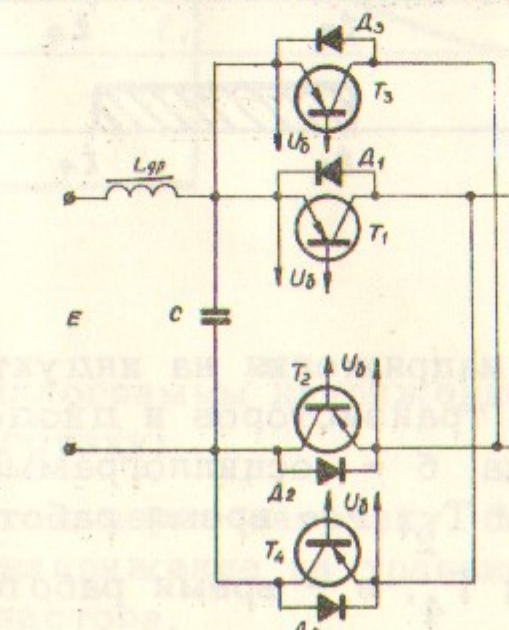


Рис. 3. Схема формирования пилообразного тока

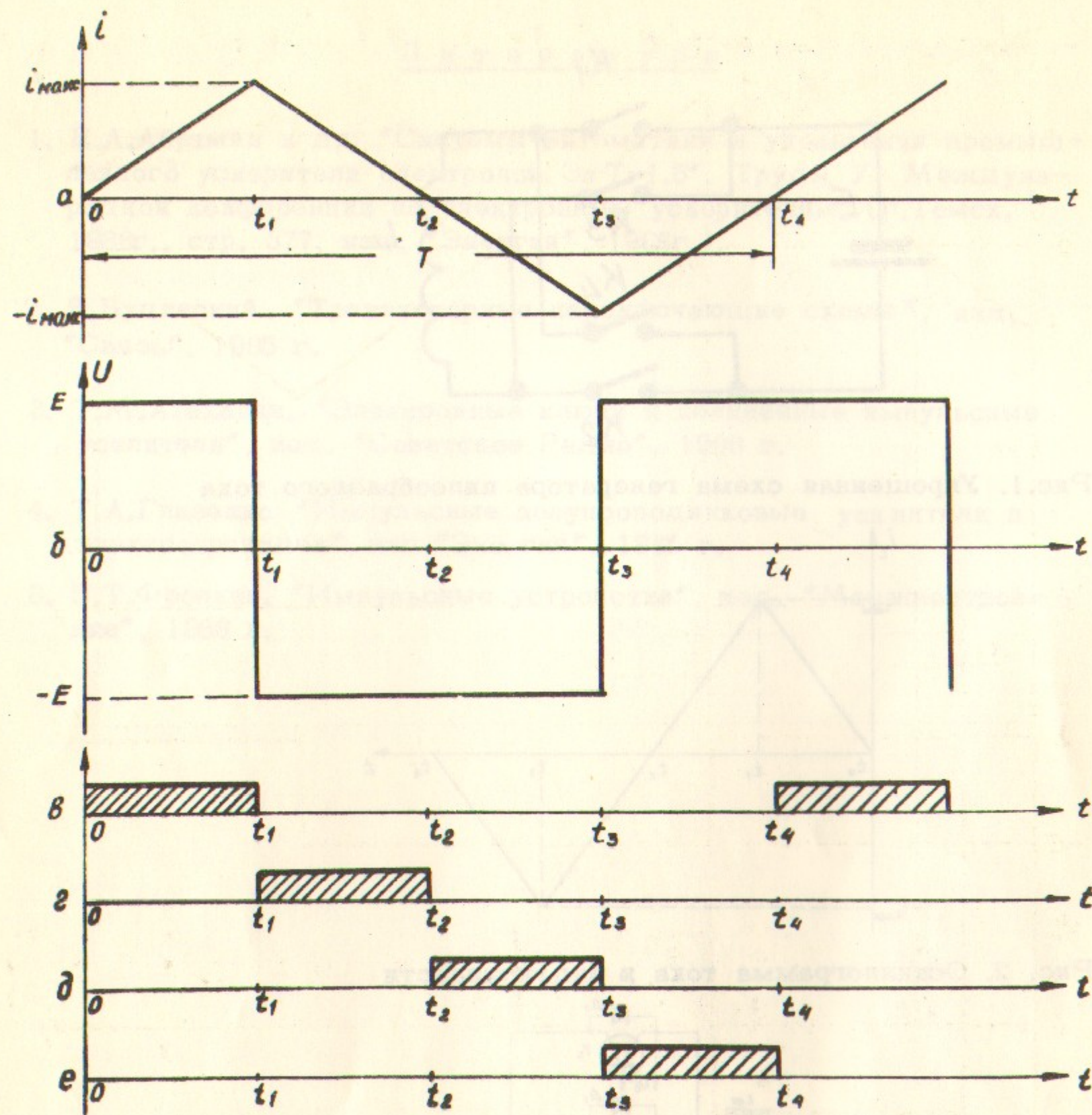


Рис.4. Осциллограммы тока и напряжения на индуктивности и диаграммы коммутации транзисторов и диодов:  
 а - осциллограмма тока, б - осциллограмма напряжения,  
 в - время работы  $T_1$  и  $T_2$ , г - время работы  $D_3$  и  $D_4$ ,  
 д - время работы  $T_3$  и  $T_4$ , е - время работы  $D_1$  и  $D_2$ .

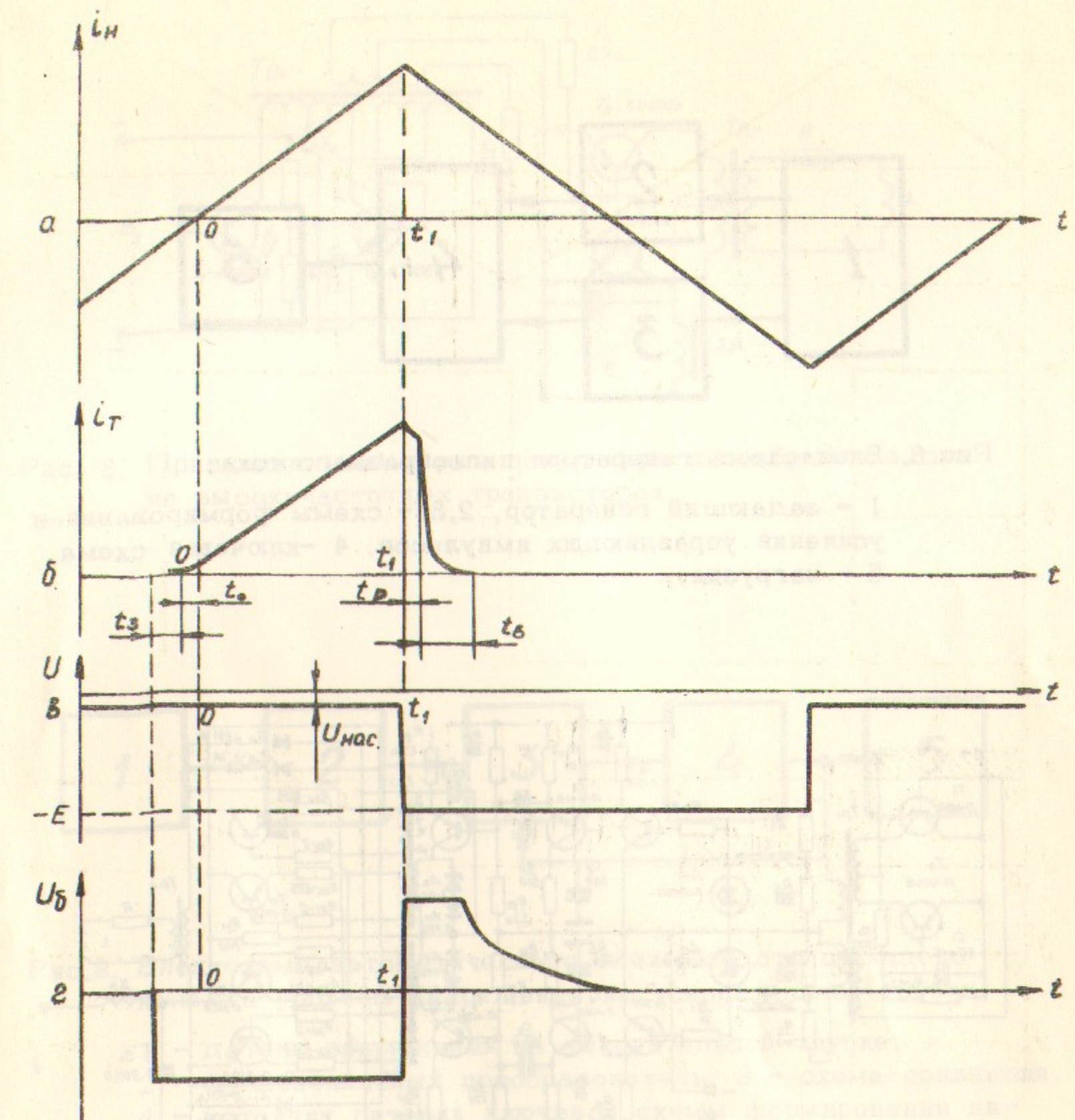


Рис.5. Осциллограммы напряжений и тока через транзистор и нагрузку:  
 а - ток через нагрузку, б - ток транзистора,  
 в - напряжение на транзисторе, г - напряжение в базе транзистора.

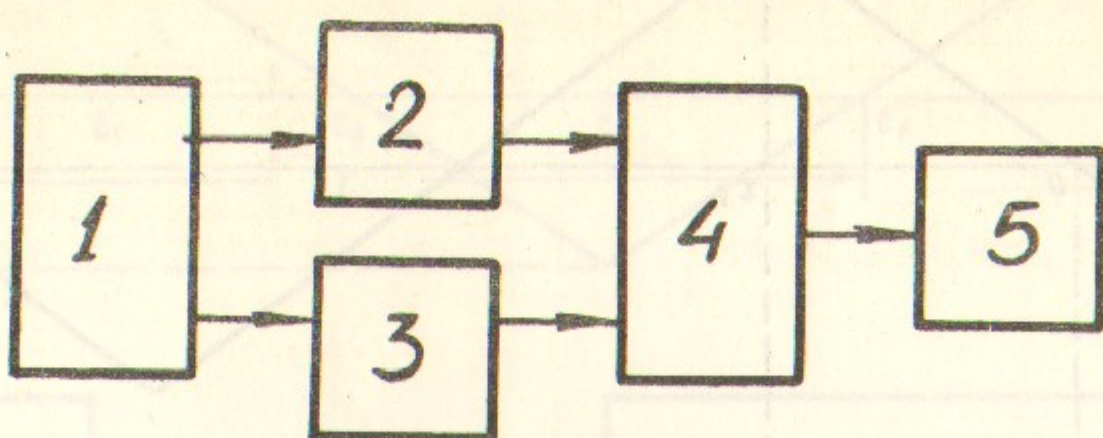


Рис.6. Блок-схема генератора пилообразного тока:

1 – задающий генератор, 2,3 – схемы формирования и усиления управляющих импульсов, 4 – ключевая схема, 5 – нагрузка.

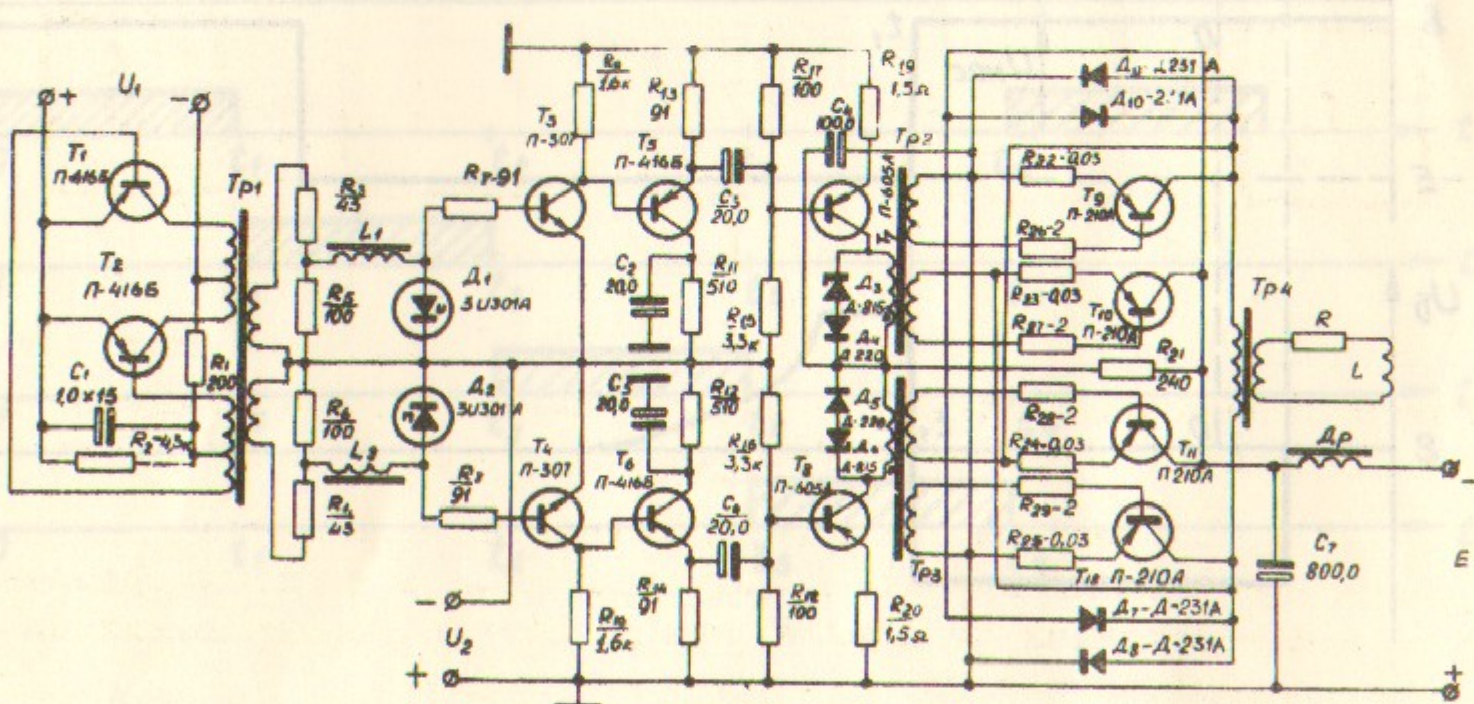
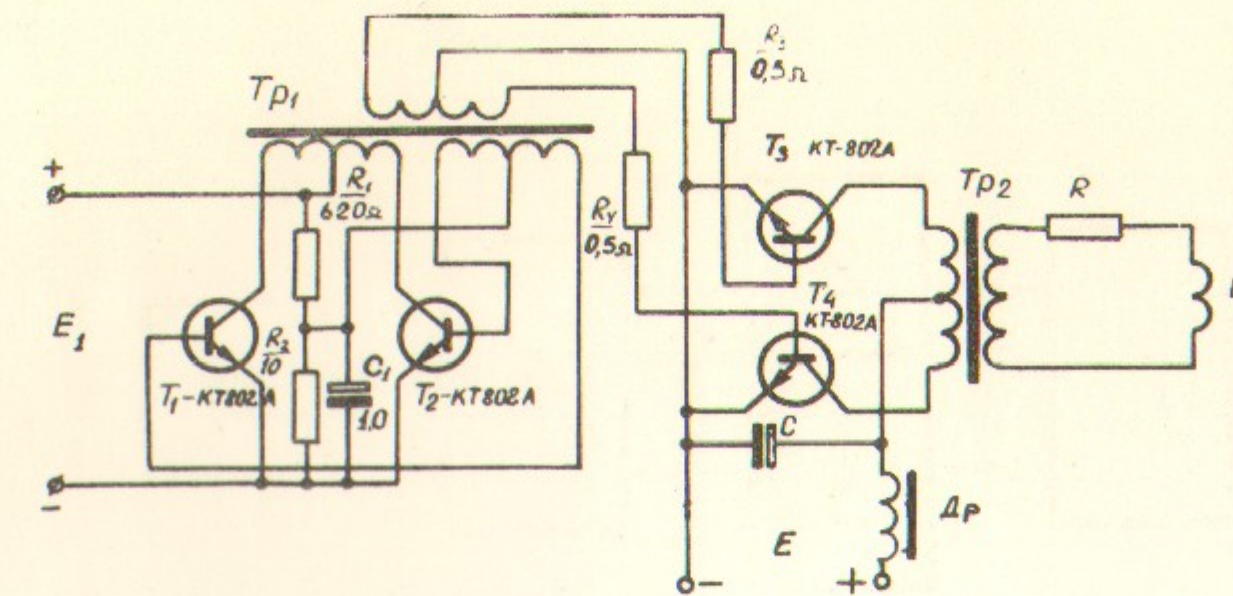
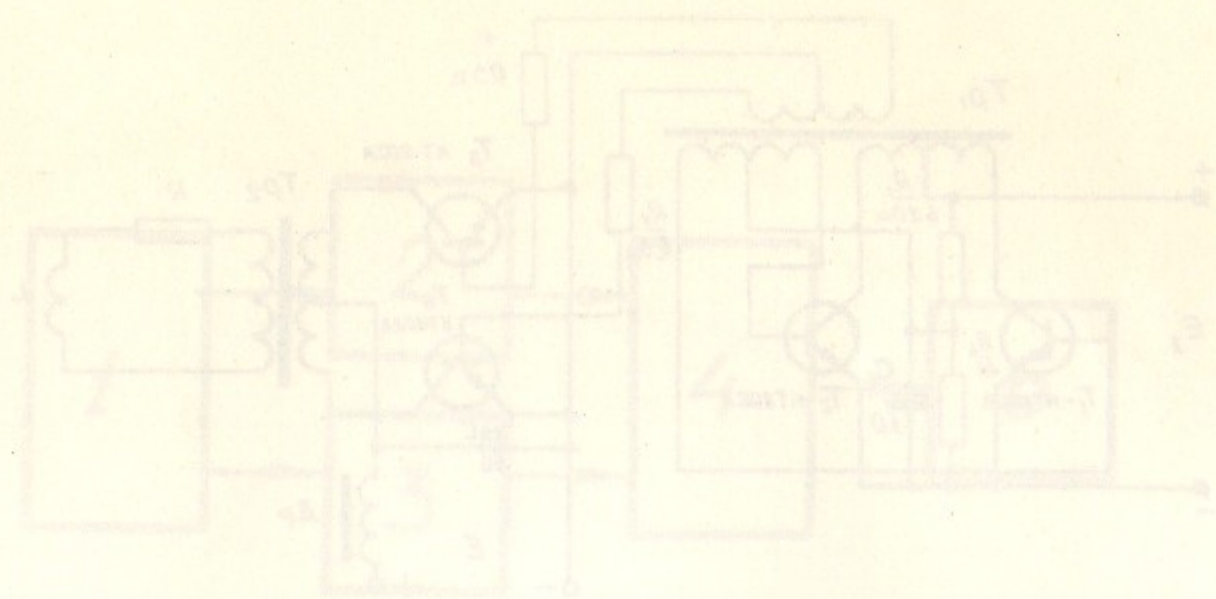


Рис.7 Принципиальная схема генератора пилообразного тока на низкочастотных транзисторах.





Рисунок, иллюстрирующий схему двухколесного самоходного трактора П.8.з.в.  
 1 - задний мотор-трансмиссионный агрегат; 2,3 - схемы приводов колес в упомянутых направлениях; 4 - схема сиденья; 5 - нагрузка.

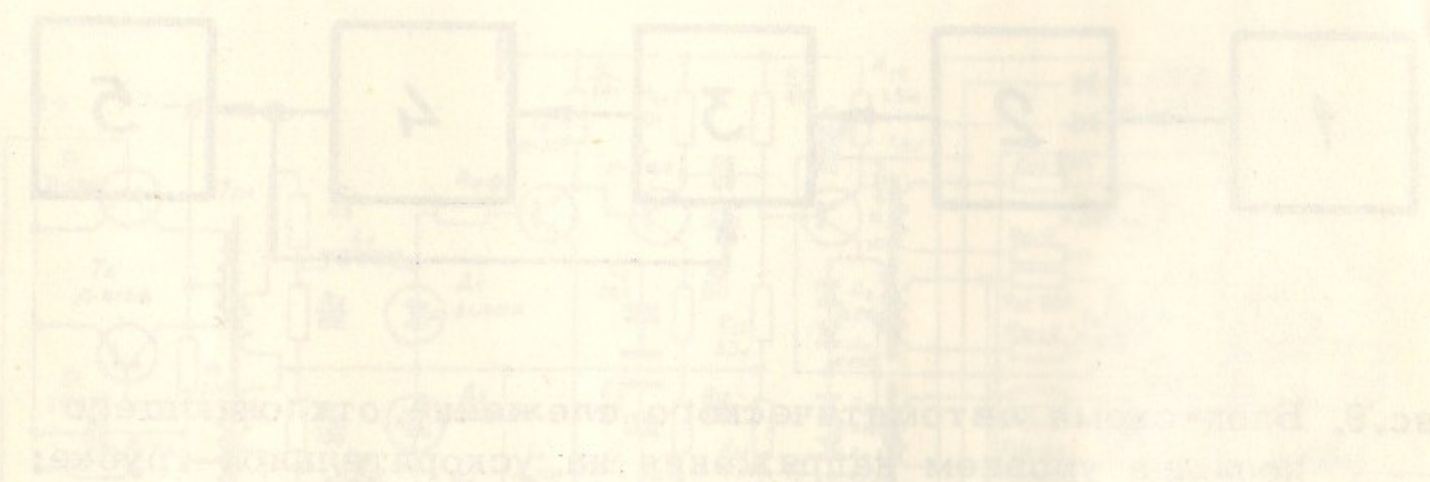


Рисунок четырехколесного самоходного трактора П.8.з.в.  
 1 - задний мотор-трансмиссионный агрегат; 2,3 - схемы приводов колес в упомянутых направлениях; 4 - схема сиденья; 5 - нагрузка.

---

Ответственный за выпуск И.И.АВЕРБУХ

Подписано к печати 11.11.1969г., заказ № 277

0,7 печ.л., тираж 150 экз, бесплатно

---

Отпечатано на ротапринте в ИЯФ СО АН СССР, вг